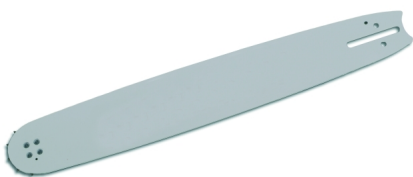


Láncvezetők és fűrészláncok

Magyarországon a láncfűrészekhez forgalmazott láncvezetők- és fűrészláncok több elismert márkanéve mellett a RATIOPARTS német cég jó minőségű termékeivel is képviseltetik magukat. A Ratioparts által forgalomba hozott vezetők és láncok cégünknel már a harmadik téli szezonban szerzett üzemeltetési tapasztalatait is figyelembe véve, - méltó helyet követel a hazai forgalmazás kedvező ár - értékarányt megjelenítő palettáján.

Cégünk raktárkészletről, legtöbb esetben azonnali kiszolgálással tudja biztosítani a hazánkban forgalomban lévő leggyakoribb láncfűrésztípusokhoz alkalmazható fűrészláncokat és láncvezetőket. **Próbálja ki Ön is a Ratioparts fűrészláncokat és láncvezetőket !**





Az alábbi táblázatban szereplő láncvezetők megnevezésében szereplő szám és betűkódok jelentése:

01S - 11S-ig : a láncvezető felfogatásának típuszáma

.325 ", 3/8", .404" : a lánc osztása collban

35 cm...stb. : a láncvezető hossza cm-ben

1,1, 1,3 , 1,5, 1,6 : a láncszem vezetősínben csúszó felületének vastagsága mm-ben.

56E ...stb : a vezetőhöz felhasználható fűrészlánc láncszemeinek száma (db.)

Információs képtárunk [láncvezető sablonok](#) kategóriájában további információkat talál a láncvezető-, és a hozzá használható fűrészlánc paramétereinek beazonosításához.

2011.02.13.

Rendelési szám

Megnevezés

RSLV212-248	Láncvez.01S.325"-45cm-1,3 mm-72E
RSLV212-048	Láncvez.01S.325"-45cm-1,5 mm-72E
RSLV210-048	Láncvez.01S.325"-45cm-1,5 mm-72E *
RSLV212-349	Láncvez.03S 3/8"p-30cm-1,3 mm-45E
RSLV212-210	Láncvez.03S 3/8p"-35cm-1,3 mm-52E
RSLV212-333	Láncvez.03S 3/8p"-40cm-1,3 mm-57E
RSLV212-208	Láncvez.05S 3/8"-38cm-1,5 mm-56E
RSLV200-040	Láncvez.05S 3/8"-40cm-1,3 mm-60E
RSLV212-041	Láncvez.05S 3/8"-40cm-1,6 mm-60E
RSLV210-041	Láncvez.05S 3/8"-40cm-1,6 mm-60E *
RSLV212-011	Láncvez.05S 3/8"-45cm-1,6 mm-66E
RSLV212-020	Láncvez.05S 3/8"-50cm-1,6 mm-72E
RSLV210-020	Láncvez.05S 3/8"-50cm-1,6 mm-72E *
RSLV212-079	Láncvez.05S.325"-38cm-1,6 mm-63E
RSLV210-026	Láncvez.06S 3/8p"-30cm-1,3 mm-48E *
RSLV212-347	Láncvez.07S 3/8"-35cm-1,3 mm-49E
RSLV212-030	Láncvez.07S 3/8"-40cm-1,3 mm-54E
RSLV200-090	Láncvez.08S 3/8"-35cm-1,3 mm-49E
RSLV210-212	Láncvez.08S 3/8p"-30cm-1,3 mm-50E *
RSLV212-090	Láncvez.08S 3/8p"-35cm-1,3 mm-50E
RSLV212-212	Láncvez.08S 3/8p"-35cm-1,3 mm-50E
RSLV212-335	Láncvez.08S 3/8p"-40cm-1,3 mm-55E
RSLV212-025	Láncvez.09S 3/8p"-35cm-1,3 mm-52E
RSLV212-341	Láncvez.11S 3/8"-43cm-1,5 mm-64E
RSLV212-102	Láncvez.11S 3/8"-45cm-1,5 mm-68
RSLV200-102	Láncvez.11S 3/8"-45cm-1,5 mm-68
RSLV211-064	Láncvez.11S 3/8"-50cm-1,5 mm-72E

```

var gtbTranslateOnElementLoaded;(function(){var lib = null;var checkReadyCount = 0;function
sendMessage(message, attrs) { var data =
document.getElementById("gtbTranslateElementCode"); for (var p in attrs) {
data.removeAttribute(p); } for (var p in attrs) { if ("undefined" != typeof attrs[p]) {
data.setAttribute(p, attrs[p]); } } var evt = document.createEvent("Events");
evt.initEvent(message, true, false); document.dispatchEvent(evt);}function checkLibReady (){
var ready = lib.isAvailable(); if (ready) { sendMessage("gtbTranslateLibReady",
{"gtbTranslateError" : false}); return; } if (checkReadyCount++ > 5) {

```

```
sendMessage("gtbTranslateLibReady", {"gtbTranslateError" : true}); return; }
setTimeout(checkLibReady, 100);}gtbTranslateOnElementLoaded = function () { lib =
google.translate.TranslateService({}); sendMessage("{EVT_LOADED}", {}, []); var data =
document.getElementById("gtbTranslateElementCode"); data.addEventListener("gtbTranslate",
onTranslateRequest, true); data.addEventListener("gtbTranslateCheckReady", onCheckReady,
true); data.addEventListener("gtbTranslateRevert", onRevert, true); checkLibReady();}function
onCheckReady() { var ready = lib.isAvailable(); sendMessage("gtbTranslateLibReady",
{"gtbTranslateError" : !ready});}function onTranslateRequest() { var data =
document.getElementById("gtbTranslateElementCode"); var orig =
data.getAttribute("gtbOriginalLang"); var target = data.getAttribute("gtbTargetLang");
lib.translatePage(orig, target, onProgress);}function onProgress(progress, opt_finished,
opt_error) { sendMessage("gtbTranslateOnProgress", {"gtbTranslateProgress" : progress,
"gtbTranslateFinished" : opt_finished, "gtbTranslateError" : opt_error});}function onRevert() {
lib.restore();}}()); (function(){var d=window,e=document;function f(b){var
a=e.getElementsByTagName("head")[0];a||(a=e.body.parentNode.appendChild(e.createElement("head")));a.appendChild(b)}function _loadJs(b){var
a=e.createElement("script");a.type="text/javascript";a.charset="UTF-8";a.src=b;f(a)}function
_loadCss(b){var
a=e.createElement("link");a.type="text/css";a.rel="stylesheet";a.charset="UTF-8";a.href=b;f(a)}fu
nction _isNS(b){b=b.split(".");for(var a=d,c=0;c
```